

한 수 빈 *
정 봉 만
최 수 현

한국동력자원연구소
에너지절약기술센터

1. 서 론

최근 PWM inverter에서 마이크로프로세서의 적용 연구는 주목할 만하다.^(1,2) 마이크로프로세서의 논리, 연산의 기능을 활용함으로써 보다 향상된 성능이 가능하게 되었으나 아직 연구해야 할 많은 과제가 있다. 기존 analog 시스템의 경우 정현파와 삼각파를 발생시키고 이를 comparator가 비교하여 스위치 구동신호를 발생시키는 데 비해서 마이크로프로세서를 이용할 경우 사건에 모든 경우의 정보가 저장되어야 하므로 PWM 방법의 사건분석이 더욱 중요하게 되었다. PWM 파형 발생은 hardware가 아닌 프로그램에 의해 가능하게 됨으로써 hardware로는 구성하기 어려운 여러 종류의 PWM 기술이 실현 가능하게 되었다.

본 논문은 현재 널리 쓰이고 있는 suboscillation PWM을 기존 analog 시스템에서 사용되는 natural sampling을 digital system에 알맞게 변형된 uniform sampling으로 대체함으로써 실현시켰으며 전주파수 영역에서 동작 되도록 하였다.

2. 시스템의 구성 및 동작

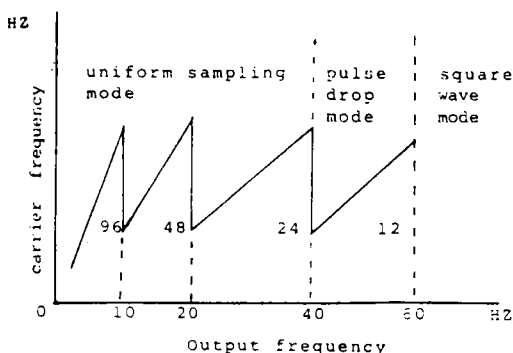
시스템의 제어부는 이미 발표된 바와 같이 CPU 8086을 중심으로 interrupt-based-system으로 구성하였으며⁽³⁾ 전주파수 영역에 대해 software에 의한 스위칭시간을 계산하여 V/F 비 일정제어 운전을 수행하였다.

순수한 PWM 파형의 경우 출력의 기본파 성분의 최대 전압은 입력전원의 약 82%에 불과하므로⁽⁴⁾ 충분한 정격전압을 공급해주기 위해서는 square wave로의 운전이 불가피하다. 따라서 순수한 PWM 영역, squarewave 영역 그리고 PWM에서 square wave로 변환되는 과도상태영역이 존재하는 multi-mode 제어 방식을 사용하였으며 실험에서는 0~40 Hz는 PWM영역, 60 Hz 이후는 square wave 동작영역 그 사이는 pulse holding 과정과 pulse dropping 과정이 존재하는 과도상태 영역으로 설정했다.

또한 subharmonic의 발생을 억제하기 위해 carrier인 삼각파와 정현파를 동기(synchronize)시켜야 하므로 carrier의 주파수를

출력주파수의 정수배가 되게 했다. 이때 전력 소자의 switching 속도의 한계와 스위칭수에 비례해서 증가하는 손실이 동작영역을 제한하게 되므로 carrier의 주파수가 너무 높거나 낮은 주파수에서 주파수비를 바꾸어 주는 ratio-change 방법을 사용했다.

따라서 전체동작 변화는 (그림 1)과 같다.



(그림 1) 인버터의 동작변화

3. Uniform sampling 과 natural sampling

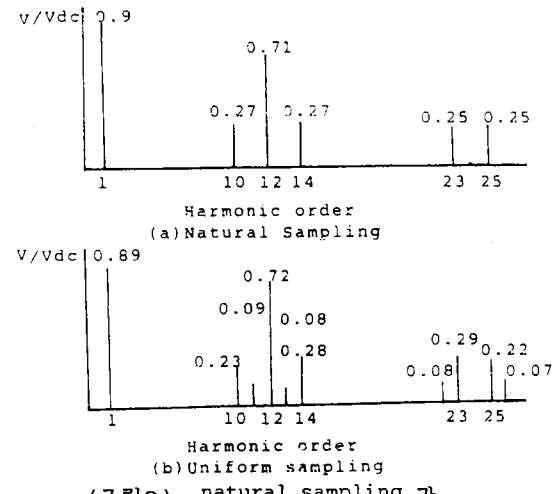
Natural sampling은 정현파와 삼각파가 교차하는 순간 스위칭이 발생되면 uniform sampling은 일정시간마다 정현파를 sampling하여 유지시킨 크기와 삼각파가 교차하는 순간에 스위칭이 발생한다. analog 시스템의 경우 uniform sampling은 sample-hold 회로가 첨가되어야 하므로 불편하지만, 마이크로프로세서를 사용할 경우 uniform sampling의 스위칭순간의 시간은 변조지수에는 무관하고 주파수비에 따라 결정되므로 (5) data의 수가 적어지며 쉽게 계산할 수 있다.

고조파특성은 FFT를 사용하여 분석하였으며,

uniform sampling과 natural sampling의 고조파 특성은 (그림2)와 같이 변조지수 0.9주파수비 12인 경우의 예로 비교될 수 있다.

Uniform sampling의 경우 carrier의 sideband 가 다 존재하여 natural sampling보다 불편한 것으로 판단되나 실제 그 크기는 매우 작아 carrier의 주파수만 높으면 거의 영향이 없고 고조파특성에 영향을 많이 주는 최저 sideband 가 natural sampling에 비해 서 작음을 알 수 있다.

따라서 마이크로프로세서를 사용할 경우는 계산이 쉽고 고조파특성도 natural sampling에 비해 손색이 없는 uniform sampling을 사용하는 것이 유리하다.

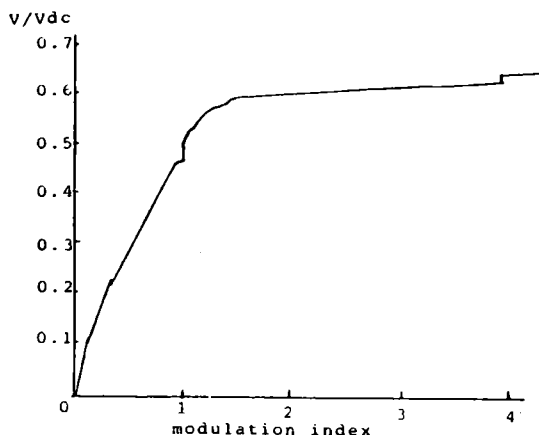


(그림2) natural sampling과 uniform sampling의 고조파 특성비교

4. 변조지수에 의한 기본파 성분의 변화

(그림3)과 같이 대략적인 경향은 변조지수 1까지는 선형적인 관계를 갖는다. 실제로는 첫번 째 pulse-dropping이 일어나면서 비선형적인 관계를 갖게되고 변조지수 1 이상에서는 기울기가

완만해져 거의 포화상태에 이르면서 $0.636 V_{DC}$ 의 크기를 유지하게 된다. 변조지수 1이하에서 주파수비가 변화하는 순간에 기본파성분의 크기가 떨어지므로 전압보상이 실제 필요하다.



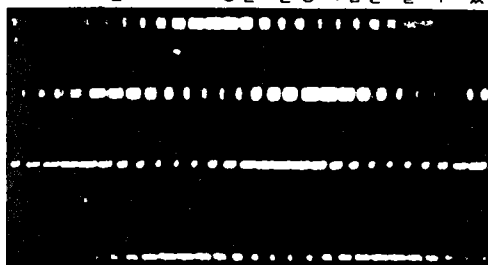
(그림3) 변조지수에 따른 기본파성분의 비고

5. 실험결과

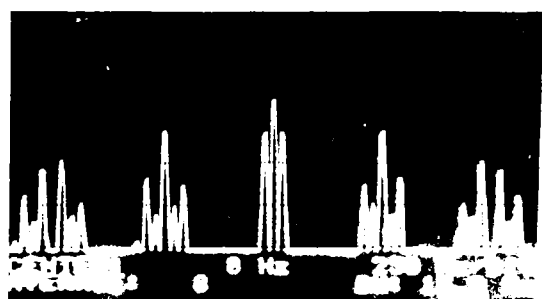
(그림4)에서 a) 는 주파수비 12, 변조지수 0.92, 43Hz 일때 마이크로프로세서에 의한 2상의 출력이다. b) 는 이 파형의 spectrum analyzer로 측정된 결과이고 c) 는 계산에 의한 고조파 특성이다. 실제 측정된 고조파특성과 이론적인 고조파특성이 거의 일치함을 볼 수 있다.

d) 는 전동기의 선간전압파형이며 e)는 선전류의 파형이다.

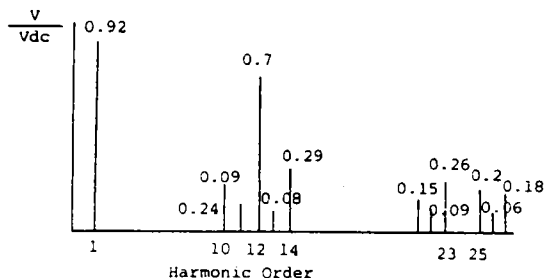
이로써 우수한 PWM 파형을 발생시킴을 볼 수 있다.



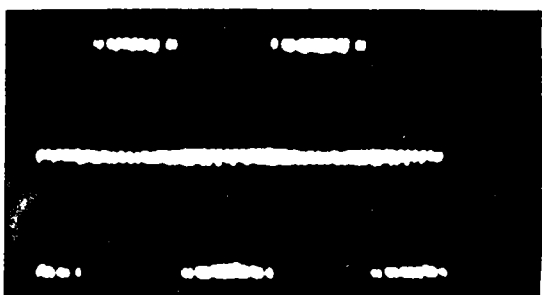
(그림4-a) 마이크로프로세서 출력파형



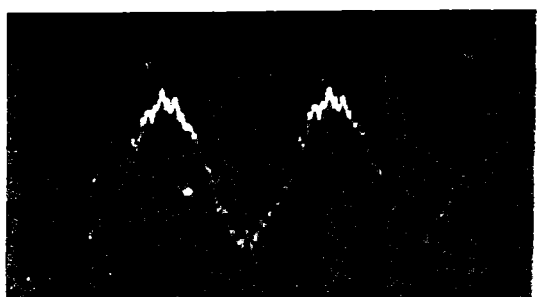
(그림4-b) 측정된 spectrum



(그림4-c) 계산된 spectrum



(그림4-d) 전동기의 선간전압 파형



(그림4-e) 전동기의 선전류 파형

6. 결 론

본 연구에서는 마이크로프로세서를 이용한 경우 uniform sampling^o natural sampling 보다 유리함을 보였다. PWM에서 squarewave의 변환은 pulse drop 이 발생할 때 생기는 기본파 성분의 변화에 의해 전동기의 속도 및 토크에 영향을 줄 수 있으므로 개선이 요구된다고 판단된다.

7. 참 고 문 헌

- 1) F.C. Zach, H. Ertl, "Efficiency optimal control for AC drives with PWM inverters", IEEE Trans. Ind. Appl., Vol IA-21, PP987-1000, 1985
- 2) D.A. Grant, M. Stevers, J.A. Howldsworth "The effect of word length on the harmonic content of microprocessor based PWM waveform generator", IEEE Trans. Ind. Appl., Vol IA-21, PP1218-1228, 1985
- 3) 최수현, 한수빈, "마이크로프로세서를 이용한 PWM 인버터에 관한 연구", 대한전기학회 학계 학술 회의 논문집, PP295-297, 1985
- 4) D.A. Grant, "Technique for pulse dropping in PWM inverters", IEE proc., Vol. 128, PP.67-72, 1981
- 5) S.R. Bowes, "Microprocessor control of PWM inverters", IEE proc., Vol. 128, PP. 293-305, 1981